

ЛАБОРАТОРНАЯ РАБОТА №3. Дискретное преобразование Фурье

ЦЕЛЬ РАБОТЫ – Изучение дискретного преобразования Фурье (ДПФ) и его свойств, получение практических навыков использования ДПФ в пакете Matlab.

3.1. Теоретические сведения

Частотно-временной анализ. Преобразование Фурье

Преобразование Фурье является одним из мощнейших и эффективных средств для решения многих связанных с обработкой сигналов. *Жан Батист Жозеф Фурье* (1768–1830) предложил концепцию представления заданного сигнала в виде тригонометрического ряда из косинусов и синусов:

$$x(t) = \frac{a_0}{2} + \sum_{k=1}^{\infty} (a_k \cos \omega_k t + b_k \sin \omega_k t), \quad (3.1)$$

где $\omega_k = \frac{2\pi k}{T_p}$; T_p – период сигнала.

Особенность разложения (3.1) в том, что оно применимо только для периодического сигнала (рис. 3.1).

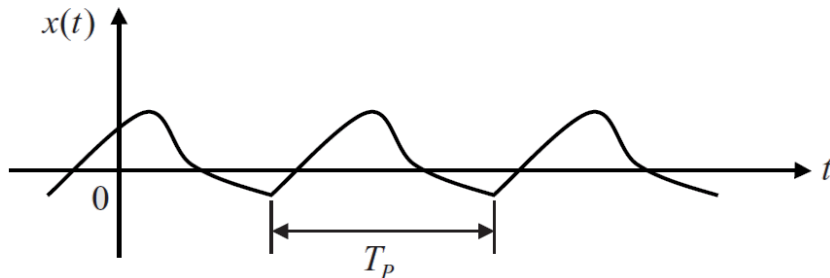


Рис. 3.1. Периодический сигнал

Самая низкочастотная составляющая сигнала, которая входит в (3.1), называется *основной частотой*, или *частотой основного тона*, $f_1 = 1/T_p$, поскольку все остальные частоты кратны ей. Частотные компоненты сигнала называются **гармониками**. Например, частотная компонента $(a_2 \cos \omega_2 t + b_2 \sin \omega_2 t)$ является второй гармоникой. Коэффициент $a_0/2$ является постоянной составляющей и представляет собой *среднее значение* сигнала за период. Причина, по которой стремятся представить сигнал в форме (3.1), заключается в том, что часто полезно разложить «сложный» сигнал в сумму «простых» – в данном случае косинусов и синусов. Не следует считать, что периодические сигналы редкость в природе. Например, на рис. 3.2 показан участок речевого сигнала (звук И), форма которого близка к периодической. Похожей периодичностью обладают почти все гласные (вокализованные) звуки.

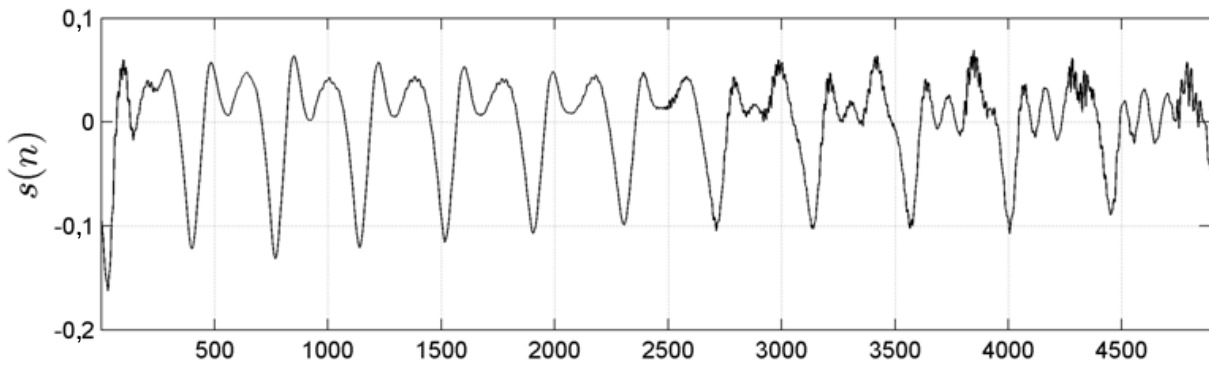


Рис. 3.2. Пример речевого сигнала

Ортогональность функций \sin и \cos

Часто возникает вопрос, почему для разложения функции в ряд (3.1) выбраны именно функции \sin и \cos ? Так произошло благодаря тому, что эти функции обладают особым свойством *ортогональности*, известным из курса геометрии, где оно относилось к векторам. Оказывается, между функциями и векторами существует аналогия: как произвольный вектор можно представить в виде суммы ортогональных векторов (составляющих базис), так и произвольную функцию можно представить в виде суммы ортогональных функций (рис. 3.3).

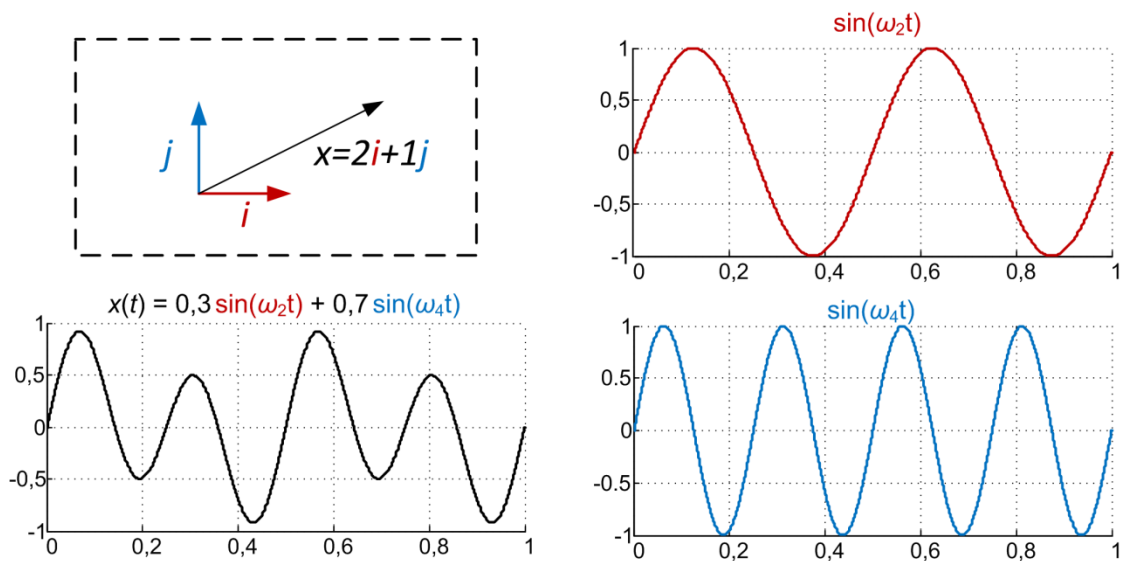


Рис. 3.3. Разложение в ортогональный базис вектора и функции

Различие при разложении вектора и функции в том, что количество базисных векторов конечно, а число базисных функций бесконечно*.

* Иногда говорят, что функция – это *бесконечномерный* вектор.

Как определить, является ли одна функция ортогональной по отношению к другой? Известно, что ортогональные векторы имеют нулевую проекцию друг на друга. С понятием проекции связано понятие скалярного произведения векторов

$$\mathbf{a} \cdot \mathbf{b} = a_1 b_1 + a_2 b_2 + \dots + a_n b_n = \sum_{i=1}^n a_i b_i,$$

которое равно нулю для ортогональных векторов. Для функций также есть аналог скалярного произведения:

$$\int_a^b f_1(t) \cdot f_2(t) dt.$$

Это выражение равно нулю, если функции $f_1(t)$ и $f_2(t)$ ортогональны на интервале $[a, b]$, иначе получаемое число показывает *проекцию* одной функции на другую. Исходя из того, что геометрический смысл интеграла – площадь под кривой, на рис. 3.4 иллюстрируется понятие скалярного произведения функций.

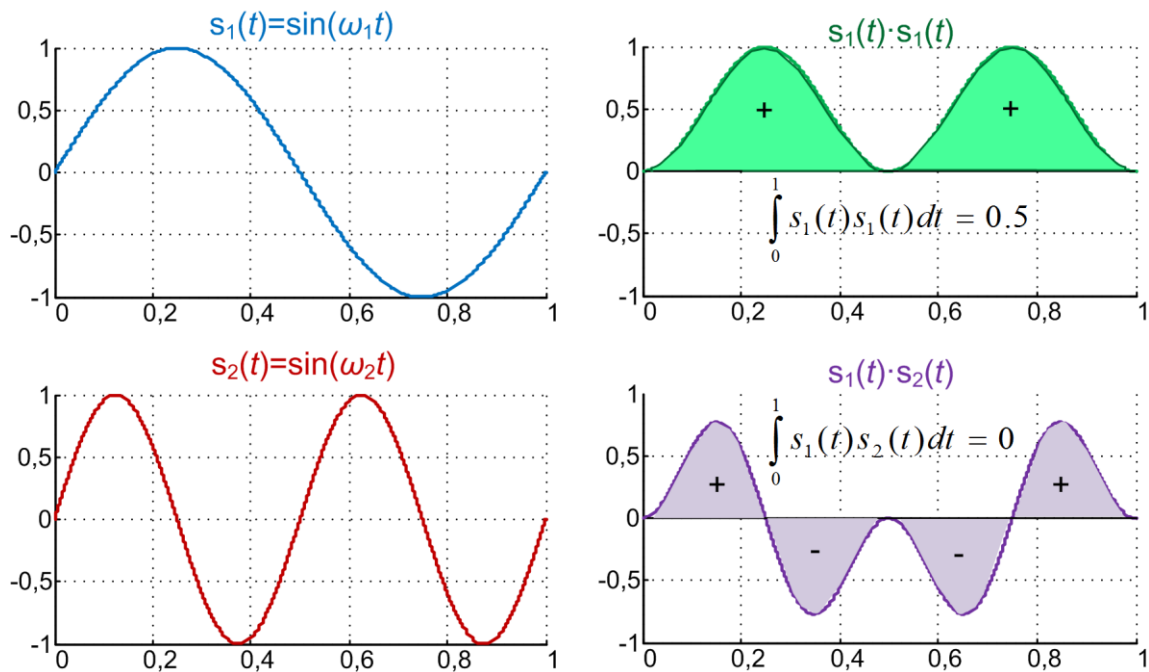


Рис. 3.4. Скалярное произведение функций

Учитывая введенные вначале обозначения, свойство ортогональности функций \sin и \cos записываются следующим образом:

$$\int_{-T/2}^{T/2} \cos \omega_k t \sin \omega_m t dt = 0, \quad \forall k, m, \quad (3.2)$$

$$\int_{-T/2}^{T/2} \cos \omega_k t \cos \omega_m t dt = \begin{cases} 0, & k \neq m \\ T/2, & k = m, \end{cases}$$

$$\int_{-T/2}^{T/2} \sin \omega_k t \sin \omega_m t dt = \begin{cases} 0, & k \neq m \\ T/2, & k = m. \end{cases}$$

Фурье-анализ

Основная задача Фурье-анализа найти коэффициенты a_k и b_k в выражении (3.1). Для этого необходимо умножить левую и правую части (3.1) на $\cos \omega_m t$:

$$x(t) \cos \omega_m t = \frac{a_0}{2} + \sum_{k=1}^{\infty} (a_k \cos \omega_k t \cos \omega_m t + b_k \sin \omega_k t \cos \omega_m t).$$

Интегрируя обе части по переменной $t \in [-T/2, T/2]$, получаем

$$\int_{-T/2}^{T/2} x(t) \cos \omega_m t dt = \frac{a_0}{2} \int_{-T/2}^{T/2} \cos \omega_m t dt +$$

$$+ \sum_{k=1}^{\infty} \left(a_k \int_{-T/2}^{T/2} \cos \omega_k t \cos \omega_m t dt + b_k \int_{-T/2}^{T/2} \sin \omega_k t \cos \omega_m t dt \right).$$

Используя свойство ортогональности (3.2), легко можно найти выражения для коэффициентов a_k и b_k :

$$a_k = \frac{2}{T} \int_{-T/2}^{T/2} x(t) \cos \omega_k t dt,$$

$$b_k = \frac{2}{T} \int_{-T/2}^{T/2} x(t) \sin \omega_k t dt.$$

Часто бывает полезным следующее разложение функции $x(t)$, которое может быть получено из (3.1):

$$x(t) = \frac{a_0}{2} + \sum_{k=1}^{\infty} M_k \cos(\omega_k t + \varphi_k),$$

где $\omega_1 = 2\pi/T$ – основная частота (частота основного тона); $M_k = \sqrt{a_k^2 + b_k^2}$ – амплитуда компоненты сигнала на частоте $k\omega_1$; $\varphi_k = \arctg(-b_k/a_k)$ – фаза компоненты сигнала на частоте $k\omega_1$.

Пример 3.1. Сигнал меандр

В качестве примера рассмотрим ряд Фурье для периодического сигнала $x(t+nT) = x(t)$, который определен следующим образом (рис. 3.5):

$$x(t) = \begin{cases} -1, & -T/2 < t < 0, \\ 1, & 0 \leq t < T/2. \end{cases} \quad (3.3)$$

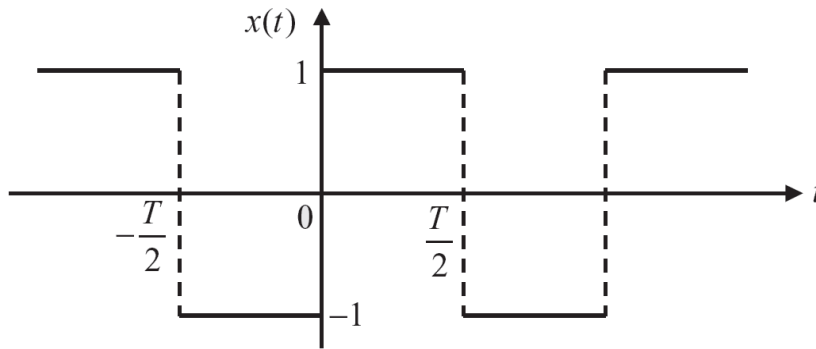


Рис. 3.5. Меандр

Легко заметить, что среднее значение сигнала равно нулю:

$$\frac{a_0}{2} = \frac{1}{T} \int_{-T/2}^{T/2} x(t) dt = 0,$$

а коэффициенты a_k и b_k равны

$$a_k = \frac{2}{T} \int_{-T/2}^{T/2} x(t) \cos(\omega_k t) dt = \frac{2}{T} \left[\int_{-T/2}^0 -\cos(\omega_k t) dt + \int_0^{T/2} \cos(\omega_k t) dt \right] = 0,$$

$$\begin{aligned} b_k &= \frac{2}{T} \int_{-T/2}^{T/2} x(t) \sin(\omega_k t) dt = \frac{2}{T} \left[\int_{-T/2}^0 -\sin(\omega_k t) dt + \int_0^{T/2} \sin(\omega_k t) dt \right] = \\ &= \frac{2}{k\pi} (1 - \cos k\pi). \end{aligned}$$

Подставляя полученные значения в (3.1), получим выражение для сигнала:

$$x(t) = \frac{4}{\pi} \left[\sin(\omega_1 t) + \frac{1}{3} \sin(3\omega_1 t) + \frac{1}{5} \sin(5\omega_1 t) + \dots \right]. \quad (3.4)$$

Необходимо отметить, что в разложении участвуют только функции \sin . Это происходит из-за того, что функция меандра является нечетной и для ее представления не нужны четные функции (\cos).

Полезно рассмотреть, как частичные суммы (3.4) аппроксимируют исходный сигнал $x(t)$. Обозначим через $S_n(t)$ сумму первых n членов в (3.4). Графики первых трех частичных сумм приведены на рис. 3.6.

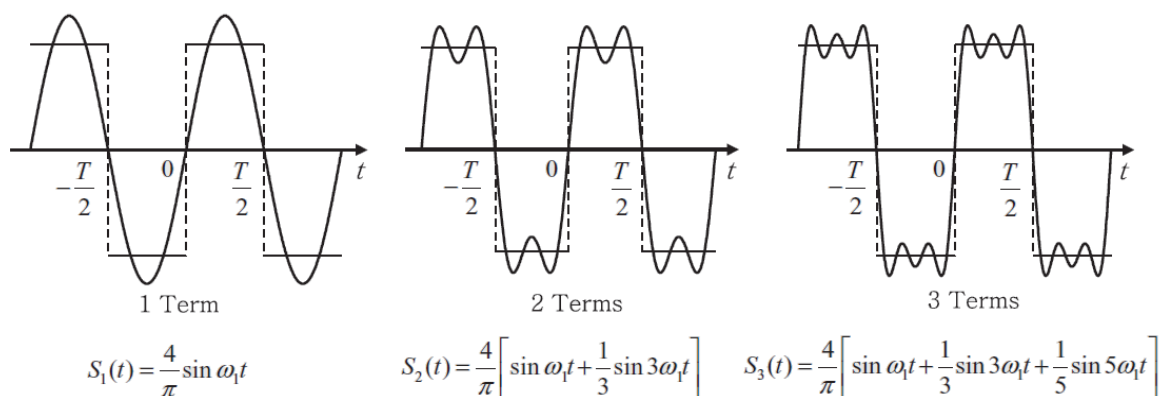


Рис. 3.6. Частичные суммы, аппроксимирующие сигнал меандр

Эффект Гиббса

Поведение частичных сумм ряда Фурье в точке разрыва функции называют *эффектом Гиббса*. Создается впечатление, что колебания в точках разрыва исчезнут, если просуммировать больше членов ряда, однако этого не происходит (рис. 3.7). Заметьте, что от количества слагаемых в ряде Фурье амплитуда выброса не изменяется.

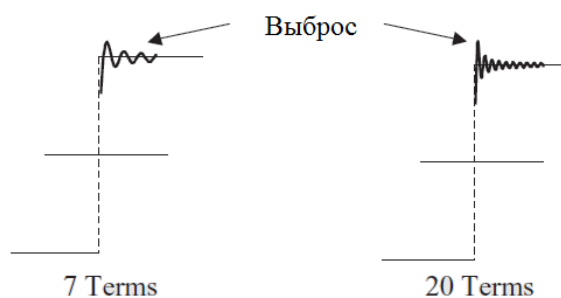


Рис. 3.7. Эффект Гиббса

Комплексная запись ряда Фурье

Наиболее часто ряд Фурье записывается в терминах комплексных экспонент $e^{j\omega_k t}$, где $\omega_k = 2\pi k/T_P$. Переход к комплексной форме записи ряда Фурье можно выполнить, если учесть, что

$$\cos \theta = \frac{1}{2}(e^{j\theta} + e^{-j\theta}) \quad \text{и} \quad \sin \theta = \frac{1}{2j}(e^{j\theta} - e^{-j\theta}). \quad (3.5)$$

Используя эти соотношения, выражение (3.1) можно преобразовать к виду

$$x(t) = \sum_{k=-\infty}^{\infty} c_k e^{-j\omega_k t}, \quad (3.6)$$

$$c_k = \frac{1}{T_P} \int_0^{T_P} x(t) e^{-j\omega_k t} dt,$$

где комплексные коэффициенты c_k связаны с a_k и b_k следующим образом:

$$c_k = (a_k - jb_k)/2.$$

Коэффициент c_k несет в себе информацию об амплитуде синусной и косинусной волны k -й компоненты разложения Фурье (или k -й гармоники). Форма (3.6) связана с разложением

$$x(t) = \frac{a_0}{2} + \sum_{k=1}^{\infty} M_k \cos(\omega_k t + \varphi_k) \quad (3.7)$$

следующим образом*:

$$|c_k| = \sqrt{a_k^2 + b_k^2} = M_k, \quad \arg(c_k) = \arctg\left(\frac{-b_k}{a_k}\right) = \varphi_k.$$

Заметим, что в (3.6) «кирпичиками», из которых складывается сигнал, являются *комплексные экспоненты* $e^{-j\omega_k t}$. Коэффициенты c_k также имеют комплексные значения и несут в себе информацию не только об амплитуде, но и о фазе k -й гармоники. Кроме того, в (3.6) возникают компоненты «отрицательной частотой». Понятие отрицательной частоты имеет чисто математическую природу и берет свои истоки в (3.5).

Спектр сигнала

Для пояснения понятия спектра сигнала обратимся к комплексной форме ряда Фурье (3.6). График зависимости $|c_k|$ от частоты ω_k называется *амплитудным спектром* сигнала $x(t)$. График зависимости фаз частотных компонент $\arg c_k$ от частоты ω_k называется *фазовым спектром* сигнала $x(t)$. Примеры амплитудного и фазового спектров показаны на рис. 3.8.

* В Matlab для вычисления модуля комплексного числа используется функция `abs`, а для вычисления аргумента комплексного числа – функция `angle`.

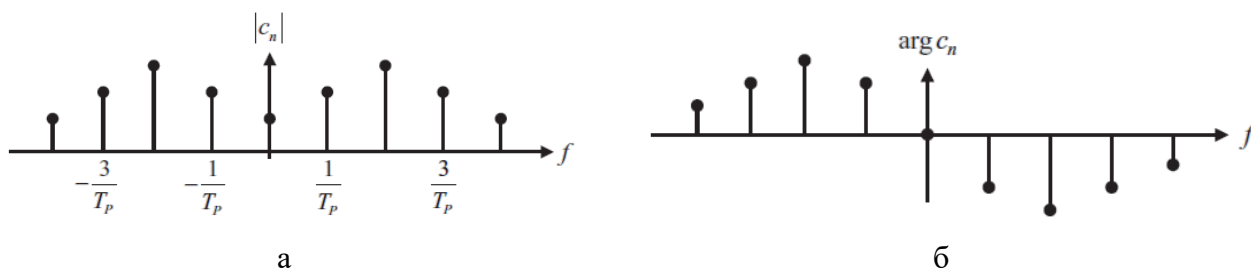


Рис.3.8. Амплитудный (а) и фазовый (б) спектры

Альтернативным способом изобразить спектр сигнала является построение графиков для M_k и φ_k из выражения (3.7).

Дискретное преобразование Фурье

ДПФ является аналогом ряда Фурье для сигнала, определенного в дискретные моменты времени. В ДПФ «предполагается», что вне заданного интервала сигнал имеет периодическое продолжение, как и в случае ряда Фурье (сравните рис. 3.9 и 3.1).

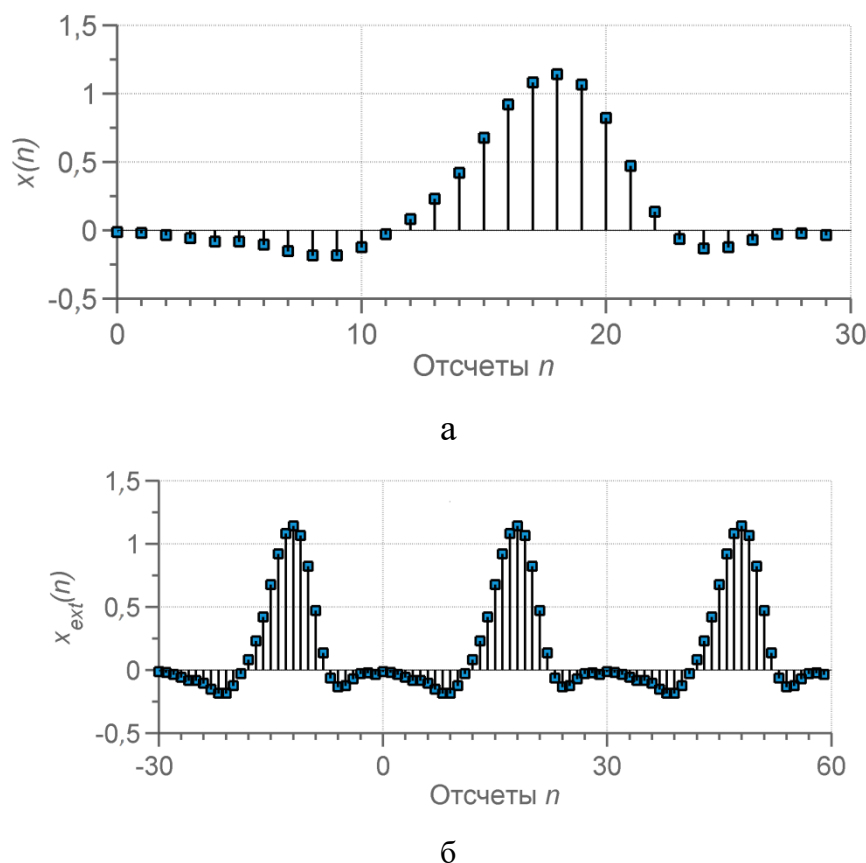


Рис. 3.9. Дискретный сигнал (а) и его ДПФ-расширение (б)

По этой причине полный период функции \sin с точки зрения ДПФ представляется, как показано на рис. 3.10 (без нулевого отсчета в конце). Так проис-

ходит потому, что именно в этом случае ДПФ-расширение сигнала тоже является синусом (рис. 3.11).

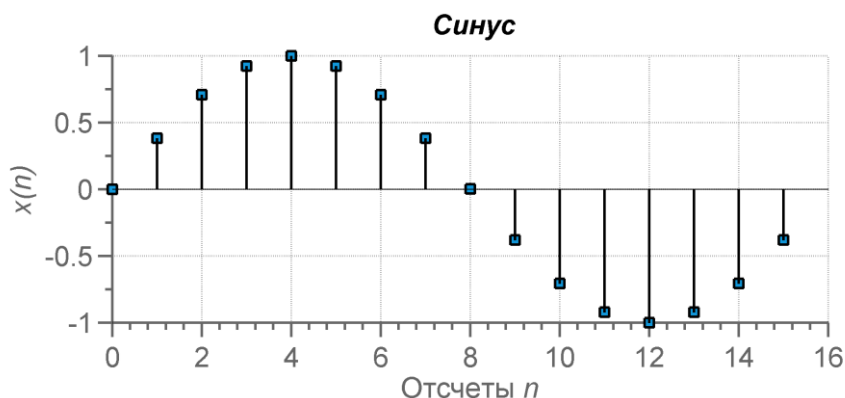


Рис. 3.10. Один период дискретного синуса

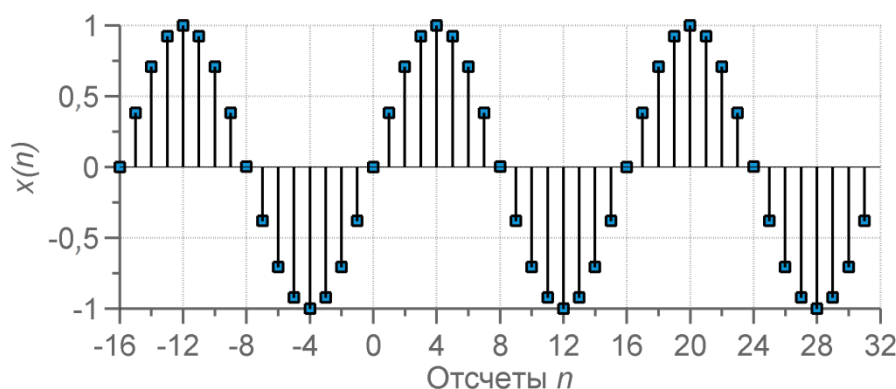


Рис. 3.11. Дискретный синус: ДПФ-расширение

Что делает ДПФ?

Как показано на рис. 3.12, ДПФ переводит N точек входного сигнала в два выходных сигнала из $N/2 + 1$ точек. Входной сигнал – это сигнал, который подвергается разложению, а два выходных сигнала содержат *амплитуды* синусов и косинусов. Как правило, входной сигнал определен во *временной области*. Это вызвано тем, что большинство сигналов, встречающихся в ЦОС, состоят из отсчетов, полученных через равные интервалы *времени*. Термин *частотная область* используется для описания амплитуд синусов и косинусов (включая специальное масштабирование, которое будет объяснено позже).

Частотная область содержит точно такую же информацию, как и временная, но в другой форме. Если известно представление сигнала в одной из областей, всегда можно его представить в другой. Если известен сигнал во временной области, то процесс вычисления сигнала в частотной области называется *разложением, анализом, прямым ДПФ* или просто *ДПФ*. Если известен сигнал в частотной области, то вычисление сигнала во временной области называется *синтезом, или обратным ДПФ*. Как синтез, так и анализ могут быть представлены в виде формул и компьютерных алгоритмов.

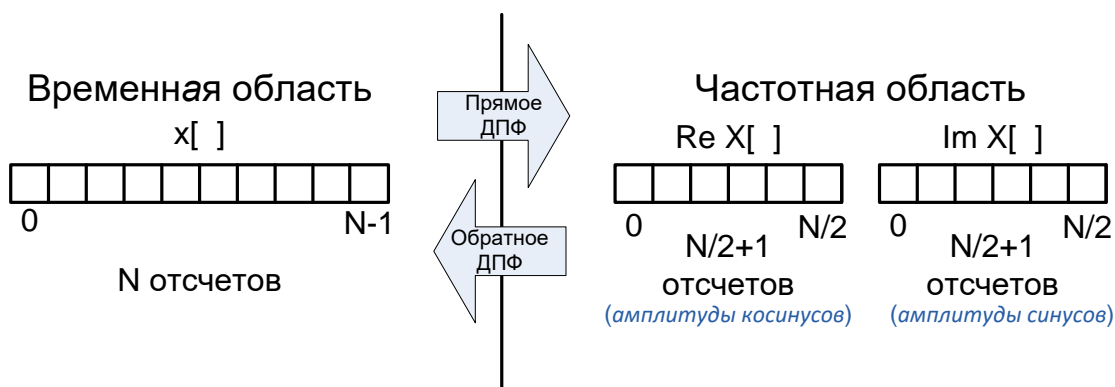


Рис.3.12.ДПФ:представление сигнала во временной и частотной областях

Число отсчетов во временной области обычно обозначается *переменной* N . Значение N может быть любой положительной величиной, но чаще всего его выбирают кратным степени числа 2, т. е. 128, 256, 512 и т. д. Это происходит по следующим двум причинам: 1) при хранении цифровых данных адресное пространство памяти кратно степени двойки; 2) большинство эффективных алгоритмов для вычисления ДПФ используют N , кратное степени двойки.

На рис. 3.13 показан пример ДПФ для $N = 32$. Сигнал во временной области представляется в виде массива $x[0], \dots, x[31]$, сигнал в частотной области – в виде двух массивов $Re X[0] \dots Re X[16]$ и $Im X[0] \dots Im X[16]$. Заметим, что 32 точки временной области соответствуют 17 точкам в каждом массиве частотной области с номерами частот от 0 до 16, т. е. N точек временной области соответствуют $N/2 + 1$ точек частотной области (не $N/2$ точек). Опущение этой дополнительной точки является типичной ошибкой при программировании ДПФ.

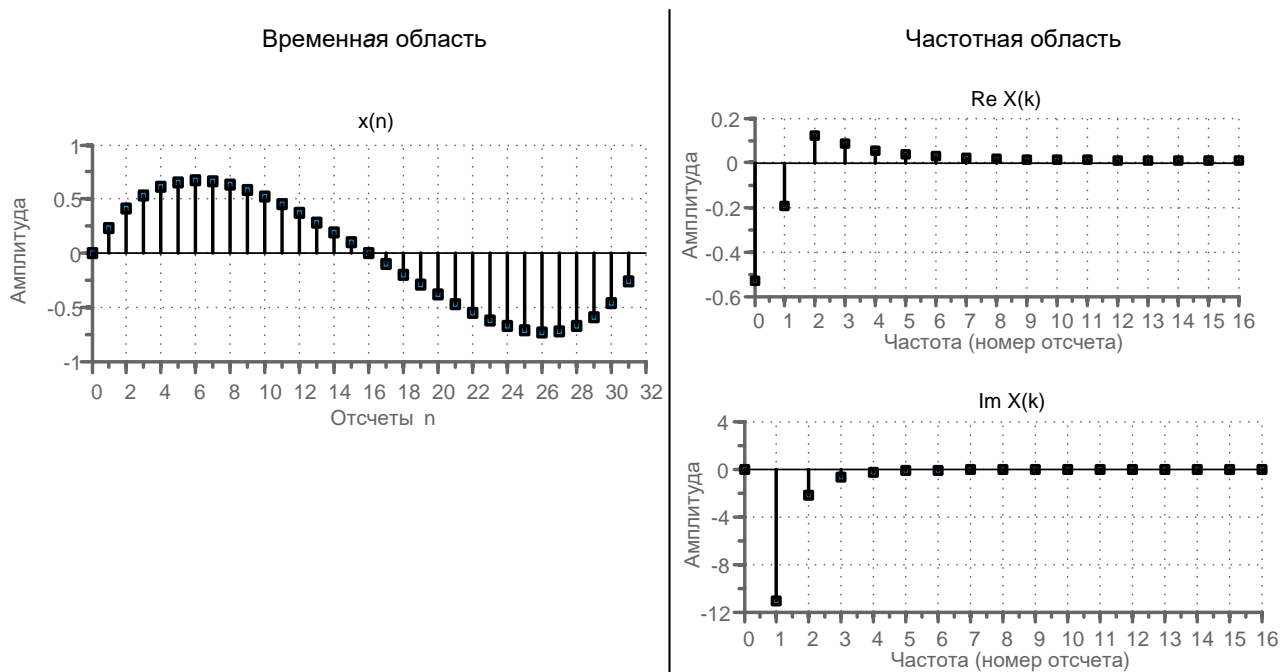


Рис. 3.13.Пример ДПФ для 32 отсчетов: представление сигнала во временной и частотной областях

Масштаб частотной оси

Горизонтальная ось в частотной области может быть обозначена четырьмя различными способами, все они общеприняты в ЦОС. При *первом способе* горизонтальная ось размечена номерами отсчетов от 0 до $N/2$. В этом случае индексы в частотной области есть целые числа, например, $Re X[k]$ и $Im X[k]$, где k меняется от 0 до $N/2$ с шагом единица. Этот способ часто применяют программисты, потому что он соответствует коду, который используется для доступа к массиву (см. рис. 3.13).

Во *втором способе* горизонтальная ось размечена в долях частоты дискретизации. Это означает, что величина вдоль горизонтальной оси всегда изменяется от 0 до 0,5, т. к. дискретные данные могут содержать частоты только от постоянной составляющей до половины частоты дискретизации. Для этого обозначения используется переменная f . Реальная и мнимая части записываются как $Re X[f]$ и $Im X[f]$, где f принимает значения $N/2 + 1$ различных значений, равномерно расположенных в интервале от 0 до 0,5. Связь между первым и вторым способом масштабирования частотной оси выражается следующим образом:

$$f = \frac{k}{N}.$$

Третий способ по сути совпадает со вторым, за исключением того, что горизонтальная ось умножена на 2π . Индекс, используемый для разметки, — ω . При этом обозначении реальная и мнимая части записываются как $Re X[\omega]$ и $Im X[\omega]$, где ω принимает значения $N/2 + 1$ величин, равномерно расположенных между 0 и π . Параметр ω называется *нормированной круговой частотой*. Этот способ обозначений удобен тем, что позволяет сократить математические выкладки. Например, рассмотрим запись косинуса, используя три различных способа задания частотной оси:

$$k: c(n) = \cos(2\pi kn/N),$$

$$f: c(n) = \cos(2\pi fn),$$

$$\omega: c(n) = \cos(\omega n).$$

Четвертый способ заключается в разметке горизонтальной оси в величинах аналоговых частот, используемых в *практических приложениях*. Например, если в системе применяется частота дискретизации 10 кГц (т.е. 10 000 отсчетов в секунду), то на графике частота будет меняться от 0 до 5 кГц. Этот способ хорош для представления частотных данных в обозначениях, используемых на практике. Недостаток заключается в том, что он привязан к конкретному значению частоты дискретизации входного сигнала, и поэтому неприменим, когда ведется речь об абстрактном сигнале.

Базисные функции ДПФ

Синусы и косинусы, используемые в ДПФ, обычно называются *базисными функциями*. Эти базисные функции имеют *единичную* амплитуду. Выходом ДПФ является набор чисел, которые представляют амплитуды базисных функций. Если определить каждую амплитуду (в частотной области) соответствующего синуса или косинуса, то в результате будут получены значения, которые отличаются от реальных *на масштабирующий коэффициент*.

Базисные функции ДПФ определяются следующими выражениями:

$$c_k[n] = \cos\left(\frac{2\pi kn}{N}\right), \quad s_k[n] = \sin\left(\frac{2\pi kn}{N}\right),$$

где $n = 0, 1 \dots N - 1$; $k = 0, 1 \dots N/2$; $c_k[n]$ – косинусная волна с амплитудой, содержащейся в $Re X[k]$; $s_k[n]$ – синусная волна с амплитудой, содержащейся в $Im X[k]$. Например, рис. 3.14 показывает некоторые из 17 синусов и 17 косинусов, используемых в 32-точечном ДПФ.

Рассмотрим некоторые из этих базисных функций. Косинусная волна $c_0[n]$ имеет нулевую частоту, т.е. это постоянный сигнал с единичной амплитудой. Это означает, что $Re X[0]$ содержит величину, усредненную по всем точкам сигнала во временной области. В электронике можно было бы сказать, что $Re X[0]$ содержит *постоянную составляющую*. Синусная волна с нулевой частотой $s_0[n]$ состоит из одних нулей. Она не воздействует на формирование сигнала.

Синусоиды $c_2[n]$ и $s_2[n]$ совершают 2 полных колебания на отрезке из N точек. Им соответствуют $Re X[2]$ и $Im X[2]$. Подобным образом $c_{10}[n]$ и $s_{10}[n]$ совершают 10 полных колебаний на N точках. Этим синусоидам соответствуют амплитуды $Re X[10]$ и $Im X[10]$. Проблема заключается в том, что отсчеты $c_{10}[n]$ и $s_{10}[n]$ не отражают *наглядно* характер синусных и косинусных волн. Если бы не было непрерывной кривой на графике, было бы трудно определить вид сигнала.

Самые высокие частоты в базисных функциях – это $c_{N/2}$ и $s_{N/2}$ (для рассматриваемого примера $c_{16}[n]$ и $s_{16}[n]$). Дискретная косинусная волна чередуется между 1 и -1 , что может быть интерпретировано как отсчеты по пикам непрерывной синусоиды. В противоположность этому дискретная синусная волна состоит из всех нулей в результате попадания отсчетов на *нулевые пересечения*. Это делает величину $Im X[N/2]$ такой же, как и $Im X[0]$: всегда равной нулю и не влияющей на синтез сигнала во временной области, что дает ответ на вопрос, почему из N отсчетов на входе ДПФ образуется $N + 2$ отсчетов на выходе. Ответ в том, что два выходных отсчета не содержат информацию, позволяя другим N быть полностью независимыми.

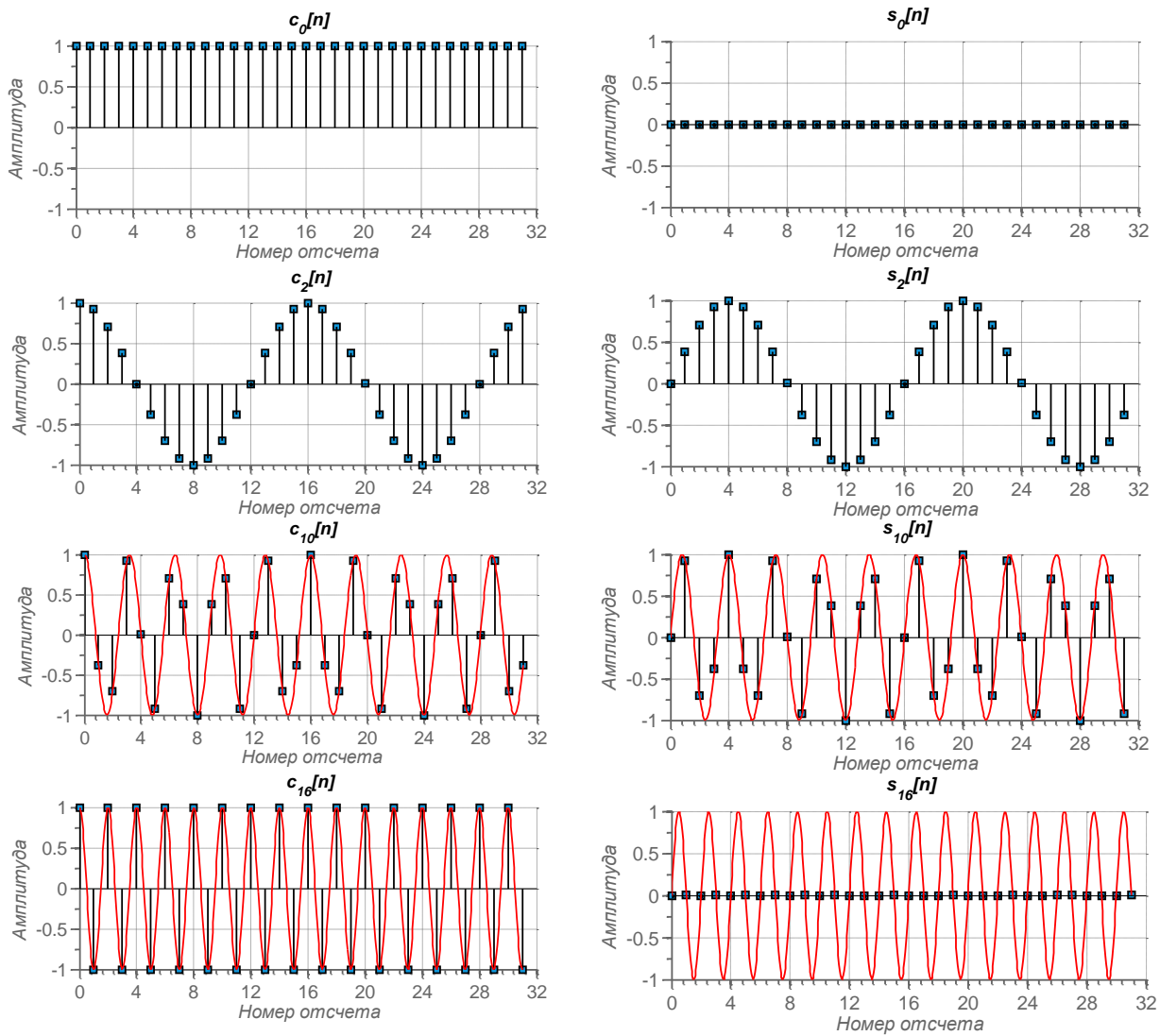


Рис.3.14.Базовые функции 32-точечного ДПФ

Вычисление ДПФ

Выражения для вычисления прямого ДПФ:

$$ReX[k] = \sum_{n=0}^{N-1} x[n] \cos\left(\frac{2\pi kn}{N}\right), ImX(k) = -\sum_{n=0}^{N-1} x[n] \sin\left(\frac{2\pi kn}{N}\right),$$

где $x[n]$ – анализируемый сигнал во временной области; $Re X(k)$ и $Im X(k)$ – вычисляемые сигналы в частотной области; индекс k изменяется от 0 до $N/2$.

Выражение для ДПФ можно записать и в комплексной форме, используя формулу Эйлера $e^{j\varphi} = \cos \varphi + j \sin \varphi$:

$$X(k) = \sum_{n=0}^{N-1} x[n] e^{\frac{-j2\pi kn}{N}}, \quad k = 0, 1 \dots N/2.$$

Уравнение синтеза или обратного ДПФ можно записать как

$$x[n] = \sum_{k=0}^{N/2} \operatorname{Re} \hat{X}(k) \cos\left(\frac{2\pi nk}{N}\right) + \sum_{k=0}^{N/2} \operatorname{Im} \hat{X}(k) \sin\left(\frac{2\pi nk}{N}\right). \quad (3.8)$$

Иными словами, любой сигнал из N точек $x[n]$ может быть создан суммированием $N/2 + 1$ косинусных волн и $N/2 + 1$ синусных волн. Амплитуды косинусных и синусных волн содержатся в массивах $\operatorname{Re} \hat{X}(k)$ и $\operatorname{Im} \hat{X}(k)$ соответственно.

В выражении (3.8) массивы обозначаются $\operatorname{Re} \hat{X}(k)$ и $\operatorname{Im} \hat{X}(k)$ вместо $\operatorname{Re} X(k)$ и $\operatorname{Im} X(k)$. Это вызвано тем, что амплитуды, необходимые для синтеза, слегка отличаются от значений сигнала в частотной области. Это влияние коэффициента масштабирования. Для получения правильного результата требуется нормализация. Незнание этого факта часто приводит к ошибкам при программировании формул ДПФ. Формально масштабирование выглядит следующим образом:

$$\operatorname{Re} \hat{X}(k) = \frac{\operatorname{Re} X(k)}{N/2}, \quad \operatorname{Im} \hat{X}(k) = -\frac{\operatorname{Im} X(k)}{N/2},$$

за исключением двух специальных случаев:

$$\operatorname{Re} \hat{X}(0) = \frac{\operatorname{Re} X(0)}{N}, \quad \operatorname{Re} \hat{X}(N/2) = \frac{\operatorname{Re} X(N/2)}{N}.$$

По аналогии с выражением (3.7) формулу для обратного преобразования Фурье можно записать в следующем виде:

$$x[n] = \sum_{k=0}^{N/2} M_k \cos\left(\frac{2\pi nk}{N} + \varphi_k\right), \quad (3.9)$$

где

$$M_k = \sqrt{\left(\operatorname{Re} \hat{X}(k)\right)^2 + \left(\operatorname{Im} \hat{X}(k)\right)^2}, \quad \varphi_k = \operatorname{arctg} \frac{-\operatorname{Im} \hat{X}(k)}{\operatorname{Re} \hat{X}(k)}.$$

Выражение (3.9) показывает, что с помощью ДПФ можно представить сигнал в виде суммы гармонических колебаний. При этом каждая гармоника имеет свою амплитуду M_k и фазу φ_k . Для правильного вычисления фазы в среде Matlab предусмотрена функция `atan2(imX, reX)`, которая возвращает значение угла в диапазоне $[-\pi, \pi]$.

Существует и комплексная форма записи обратного ДПФ:

$$x[n] = \frac{1}{N} \sum_{k=0}^{N-1} X(k) e^{\frac{j2\pi kn}{N}}, \quad n = 0, 1, \dots, N-1.$$

Вычисление ДПФ в пакете Matlab

В пакете Matlab для вычисления дискретного преобразования Фурье используется функция `FFT(X)`. В случае матричного аргумента ДПФ рассчитывается для каждого столбца матрицы. Может оказаться полезным явное указание размера преобразования: `FFT(X, N)`. Если реальная длина вектора X меньше заданной размерности N , он дополняется нулями. При этом можно получить больше частотных отчетов и, следовательно, улучшить условия различения синусоидальных компонент сигнала. Если длина входного вектора больше N , лишние отсчеты отсекаются.

Обратное дискретное преобразование Фурье вычисляется с помощью функции `IFFT(X)`, которая используется аналогично предыдущей.

1.4 Порядок выполнения работы

3.2.1. Разработайте функцию `DFT`, вычисляющую ДПФ от входного вектора, не используя функцию `MatlabFFT`, и рисующую графики действительной и мнимой частей результата преобразования. Сравните результаты работы своей функции с функцией `MatlabFFT`.

3.2.2. Предположим, что задан входной сигнал $x[n]$ значения ДПФ сигнала $X(k)$. Разработайте в среде Matlab функцию `[cA, sA]=SinCosAmps(X)`, которая из комплексных значений $X(k)$ вычисляет амплитуды косинусов и синусов, на которые раскладывается сигнал $x[n]$. Если входной сигнал имеет размерность N , то выходные массивы `cA` и `sA` должны иметь размерность $N/2 + 1$.

3.2.3. Напишите Matlab-функцию, которая выполняет синтез сигнала $x[n]$ из амплитуд косинусов и синусов, полученных функцией `SinCosAmps`. Проверьте работу функции.

3.2.4. Напишите Matlab-функцию которая преобразует комплексные значения ДПФ сигнала $X(k)$ в гармонические параметры M_k и φ_k (см. формулу (3.9)). Если $X(k)$ имеет размерность N , то размерность массивов M_k и φ_k должна быть $N/2 + 1$. Используя разработанную функцию произвольного сигнала $x[n]$, постройте амплитудный и фазовый спектры сигнала.

3.2.5. Напишите Matlab-функцию которая выполняет синтез сигнала из гармонических параметров M_k и φ_k (см. формулу(3.9)). Проверьте работу функции.

3.2.6. Используя функцию из задания 3.2.5, выполните Фурье-анализ ЭКГ-сигнала^{**}. Постройте график сигнала во временной и частотной областях. По оси абсцисс в частотной области отложите аналоговые частоты.

3.2.7. Используйте функции из задания 3.2.5 и 3.2.6 для изменения тембра речевого сигнала. Для это запрограммируйте в Matlab следующий алгоритм:

- загрузите wav-файл при помощи функции `[x, fs]=wavread('путь_к_файлу');`
- входной сигнал разбейте на последовательные секции по 512 отсчетов;
- для каждой секции сигнала выполните ДПФ и найдите гармонические параметры M_k и φ_k ;
- преобразуйте амплитуды гармоник M_k при помощи функции `ChangeTimbre(M_k, alpha)`, оставляя фазы гармоник неизменными. Параметр α влияет на степень изменения тембра: $\alpha = 1$ – не изменит тембра, $\alpha > 1$ – тембр становится более высоким, $\alpha < 1$ – более низким. При $\alpha > 2$ и $\alpha < 0,5$ в речевой сигнал может быть значительно искажен;
- выполните синтез секции речевого сигнала из параметров M_k и φ_k при помощи функции из задания 3.2.6;
- запишите синтезированный речевой сигнал y в wav-файл при помощи функции `wavwrite(y, fs, 'имя_файла')`.

3.2.8. Выполните моделирование работы полупроводникового диода при прохождении через него синусоидального сигнала (рис. 3.15).

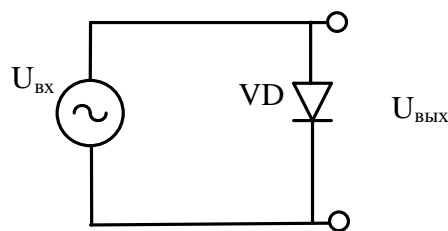


Рис.3.15. Схема для задания 3.2.8

Выходное напряжение определяется следующим образом

$$U_{\text{ВЫХ}} = \begin{cases} U_{\text{ВХ}} \times \text{acrtg}\left(\frac{1}{r_{\text{пр}}}\right), & U_{\text{ВХ}} > U_{\text{отс}} \\ U_{\text{отс}} \left(\frac{U_{\text{ВХ}}}{U_{\text{отс}}}\right)^2, & 0 < U_{\text{ВХ}} < U_{\text{отс}} \\ 0, & U_{\text{ВХ}} < 0 \end{cases}.$$

^{**} Файл `ecg_data` хранится в папке `"\\1-311-kafevs\Docs\ТиПЦОС\Материалы для ЛР№3\"`. Для загрузки необходимо скопировать файл в текущий каталог Matlab и выполнить команду `load('ecg_data')`; частота дискретизации сигнала равна 360 Гц.

Постройте график выходного напряжения, если на входе действует сигнал $x(t) = 0,5 \sin(2\pi 10t)$, $0 < t < 0,5$ с. Для получения дискретного сигнала $x[n]$ выполните дискретизацию сигнала с частотой 100 Гц. Постройте спектры входного ($x[n]$) и выходного сигнала $y[n]$. Какие выводы можно сделать по внешнему виду полученных спектров?